

## مقایسه آسیب‌پذیری فرونشست آبخوان دشت جنوب‌غربی تهران با مدل وزن‌دهی ساده (مدل ALPRIFT) و الگوریتم ژنتیک

علی منافی آذر، مashaalle خامه چیان\*

دانشگاه تبریز

دریافت ۹۶/۱۰/۱۲ پذیرش ۹۷/۰۴/۲۵

### چکیده

فرونشست سطح زمین در اثر استخراج بی‌رویه از منابع آب زیرزمینی، یکی از رویدادهایی است که در ایران بهوفور مشاهده شده است. این پدیده در صورت نبود مدیریت صحیح، می‌تواند خسارات جبران ناپذیری را برای مناطق دچار این پدیده، ایجاد کند. هم‌چنین رشد جمعیت و فناوری زراعی، استفاده بیش از ظرفیت منابع آب زیرزمینی برخی از نقاط ایران را بهدبال داشته است. نرخ فرونشست زمین ناشی از برداشت بیش از حد آب‌های زیرزمینی در دشت تهران در طی سال‌های اخیر افزایش یافته است. در چنین شرایطی آثار زیان‌بار آن بر زمین‌های کشاورزی، ساختمان‌ها، شریان‌های حباتی و دگرشكلي‌های سطح زمین بهصورت فروچاله‌ها، ترک‌ها و شکاف‌های زمین در حال گسترش هستند. در این پژوهش با استفاده از مدل ALPRIFT که یک مدل وزن‌دهی ساده است و شامل ۷ لایه مؤثر بر فرونشست (جنس لایه‌های زیرین، کاربری زمین، پمپاژ، تغذیه، ضخامت آبخوان، فاصله از گسل، افت سطح آب زیرزمینی) است میزان آسیب‌پذیری فرونشست دشت با تلفیق لایه‌ها در محیط GIS Arc برای فاصله زمانی یک سال (۱۳۹۴-۱۳۹۵) بدست آمد و برای صحبت‌سنگی این مدل از نقشه ماهواره‌ای InSAR استفاده شد. با وجود قابل قبول بودن نتایج، برای بهبود نتایج حاصل و بهینه‌سازی وزن‌های اعمال شده از روش الگوریتم ژنتیک استفاده شد. نتایج نشان داد که بهینه‌سازی وزن‌های اعمال شده بهوسیله الگوریتم ژنتیک، با افزایش ضریب همبستگی از ۰/۶۴ به ۰/۷۵، بین شاخص فرونشست و فرونشست‌های بهدست آمده در دشت، توانایی بیشتری در ارزیابی فرونشست دارد.

واژه‌های کلیدی: پتانسیل فرونشست، آبخوان، بهینه‌سازی وزن، مدل ALPRIFT، الگوریتم ژنتیک، نقشه ماهواره‌ای InSAR

### مقدمه

فرونشست زمین<sup>۱</sup> فروریزش یا پایین رفتن سطح زمین بهصورت تغییرات قائم با جابه‌جایی‌های اندک افقی است. فرونشست زمین در اثر فرآیندهای طبیعی<sup>۲</sup> مانند آب شدگی یخ‌ها، تراکم نهشته‌ها، حرکات آرام پوسته زمین و خروج گذازه و یا فعالیت‌های انسان‌زاد<sup>۳</sup> مانند برداشت سیالات زیرسطحی (آب‌های زیرزمینی، نفت و گاز) و معدنکاری ایجاد می‌شود [۱]. فرونشست ناشی از عوامل طبیعی اغلب بهصورت تدریجی و در مدت زمان طولانی رخ می‌دهد که اثرات ناشی از آن چندان خطر جدی محسوب نمی‌شوند، اما فرونشست ایجاد شده تحت تأثیر عوامل انسانی عموماً بهصورت

ناگهانی رخ داده و در مدت زمان کمتر، اثرات زیانباری از خود به جا می‌گذارد [۲]. امروزه فرونشست زمین براثر برداشت بی‌رویه از لایه‌های آبدار زیرزمینی، مضل و مخاطره‌ای است که جوامع ساکن بر آن را در سطوح بین‌المللی تهدید می‌کند. براساس برآورد کارشناسان، بیش از ۱۵۰ شهر از شهرهای بزرگ دنیا با گسترهای از کشورهای توسعه یافته تا در حال توسعه در معرض این پدیده قرار دارند [۳].

فرونشست زمین در اثر برداشت آب‌های زیرزمینی، موجب تغییر در توزیع تنش شده و باعث افزایش تنش مؤثر در خاک می‌شود. باز ژئواستاتیکی واردہ بر مخزن آبخوان در اثر افت سطح ایستابی که همراه با خالی شدن فضاهای موجود در مصالح خاک ناشی از برداشت آب و افزایش خلل و فرج موجود در آن است، موجب فشردگی و تراکم لایه‌های خاک خواهد شد و با برداشت آب زیرزمینی، میزان تنش‌های مؤثر قائم و افقی افزایش خواهد یافت [۴]. فرونشست به عنوان مخاطره‌ای زیست‌محیطی، به دلیل عملکرد آرام و زمان‌بر، تا زمانی که تحت تأثیر نیروهای انسان‌زاد ایجاد نشده باشد، چندان قابل تشخیص نیست و اغلب به صورت تغییرات سطحی یا ترک در تأسیسات و ساختمان‌ها دیده می‌شود. همراه شدن روند طبیعی فرونشست زمین، با عوامل غیرطبیعی محرك آن، باعث تشدید فعالیت فرونشست شده، به طوری که علاوه بر خسارات مورفو‌لوجیکی سطحی، خسارات مالی و جانی را نیز برای انسان به همراه دارد [۵].

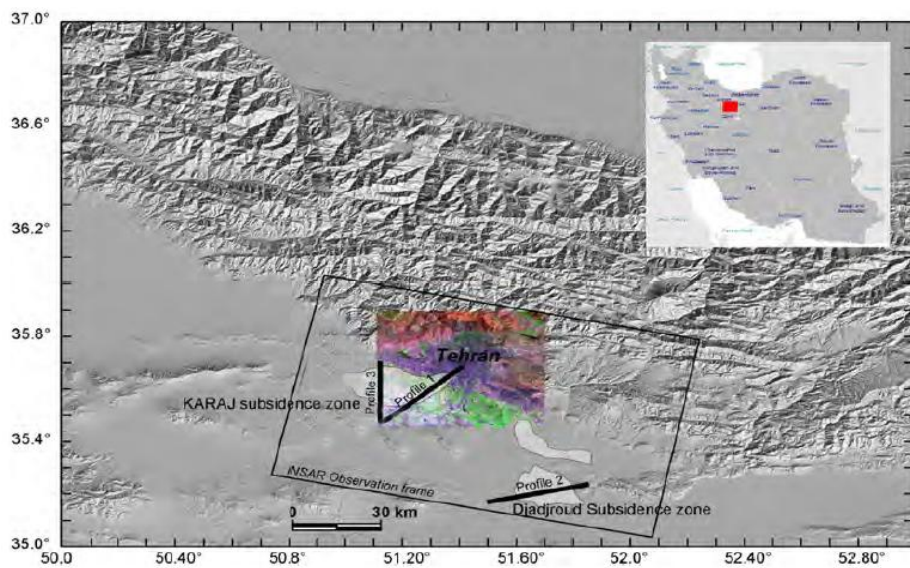
با در نظر گرفتن موقعیت جغرافیایی ایران، متوسط سالانه نزوالت جوی در سطح کمی قرار دارد. رشد سریع جمعیت در سال‌های اخیر و به دنبال آن توسعه روزافزون فعالیت‌های اجتماعی، اقتصادی و صنعتی سبب شده است تا میزان بهره‌برداری از منابع آب زیرزمینی بیش از ظرفیت و توان بالقوه آن افزایش یابد. مشاهده افت شدید سطح آب زیرزمینی یکی از شاخص‌های برداشت بیش از توان آبخوان‌ها است. ادامه این وضعیت موجب تهی شدن مخازن آب زیرزمینی و ایجاد فرونشست‌های غیرقابل بازگشت می‌شود که نمونه‌های آن در مناطق خشک و نیمه خشک قابل مشاهده است [۶].

در حال حاضر فرونشست زمین در دشت تهران با به‌طور گستردگی پیش می‌رود. توسعه خطوط لوله نفت، گاز و راه-آهن در مناطقی از دشت و گسترش ترک‌ها و شکاف‌ها در ساختمان‌ها و سازه‌ها در این منطقه، نشان‌دهنده حساسیت آسیب‌پذیری این ناحیه است. این در حالی است که نخستین بررسی‌های رادار دشت تهران (سپتامبر ۲۰۰۴ تا مارس ۲۰۰۶ میلادی) نشان‌دهنده بیشینه نرخ فرونشست ۱۶/۵ سانتی‌متر در سال است [۷]. آخرین بررسی‌های انجام گرفته در رابطه با فرونشست دشت جنوب‌غربی تهران، نشان‌دهنده بیشینه نرخ فرونشست حدود ۱۷ سانتی‌متر در سال با مدل PMWIN گزارش شده است [۸].

در این پژوهش، پتانسیل آسیب‌پذیری فرونشست دشت جنوب‌غربی تهران با مدل ALPRIFT که شامل ۷ لایه مؤثر بر فرونشست است برای یک بازه یک‌ساله بررسی شد. با این‌که نتایج این مدل قابل قبول بود اما برای افزایش صحت مدل الگوریتم ژنتیک استفاده شد. لازم به ذکر است که به دلیل کمبود اطلاعات طولانی مدت و کوتاه بودن بازه بررسی، ارزیابی فرونشست حاصل برای دشت مورد نظر نیز مقطعی است.

### منطقه بررسی شده

دشت جنوب‌غربی تهران با مساحتی برابر با ۴۱۵/۶۴ کیلومترمربع، در حد فاصل ۵۰ درجه و ۵۵ دقیقه تا ۵۱ درجه و ۲۳ دقیقه طول شرقی و ۳۵ درجه و ۳۰ دقیقه تا ۳۵ درجه و ۴۲ دقیقه عرض شمالی و در منطقه‌ای خشک تا نیمه خشک واقع شده است (شکل ۱).



شکل ۱. محدوده مورد بررسی و پهنۀ فرونشست زمین در دشت تهران

نهشته‌های آبرفتی تهران در برگیرنده چهار واحد چینه‌شناسی [۹]: واحد A (سازند هزاردره)، واحد B (سازند کهربیزک)، واحد C (آبرفت تهران) و واحد D (آبرفت عهد حاضر) است. در محدوده فرونشست، از آبرفت‌های سیلیتی-رسی واحدهای B و C پوشیده شده است. سازند کهربیزک که به‌وسیله مخروط افکنه‌های بزرگ سازند آبرفتی تهران پوشیده می‌شود، سازندی قدیمی‌تر از آن محسوب می‌شود. آبرفت C که بخش عمده دشت تهران را پوشانده است، قدرت ذخیره‌سازی، انتقال و قابلیت نفوذ بسیاری خوبی دارد. به‌طوری‌که آبخوان اصلی دشت تهران در این آبرفت قرار دارد. در مجموع قسمت بالایی واحد A و واحدهای B و C و D دارای نفوذ‌پذیری خوب تا بسیار خوب هستند.

آبخوان تهران از نوع آبخوان آبرفتی<sup>۱</sup> است. بر پایه نقشه هم‌تراز سطح ایستابی آبخوان مذکور در طی ۴۴ سال (مهر ۱۳۵۰ تا اردیبهشت ۱۳۹۴) سطح آب زیرزمینی افتی برابر با ۱۵ متر در جنوب دشت و بیش از ۵۰ متر در شمال دشت داشته است (شکل ۲) [۱۰]. هم‌چنین محاسبات بیلان آب زیرزمینی دشت مذکور در یک دوره ۱۰ ساله (۱۳۷۳-۱۳۸۳) نشان می‌دهد که کسری حجم مخزنی برابر با  $16/3$  میلیون متر مکعب داشته است [۱۱].

ضخامت آبرفت دشت تهران در بخش‌های شمالی به بیش از ۴۰۰ متر و در بخش‌های شمال‌غربی به حدود ۳۰۰ متر می‌رسد. در بخش‌هایی از شمال، شرق، جنوب شرق و جنوب غرب دشت، به دلیل بالا آمدگی سنگ کف<sup>۲</sup>، ضخامت آبرفت به کمتر از ۲۵ متر نیز می‌رسد [۷].

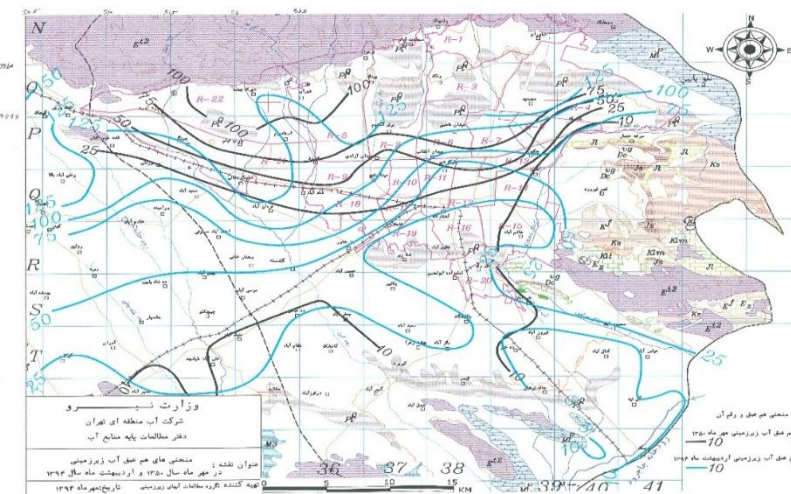
## روش تحقیق

روش ارائه شده برای بررسی پتانسیل فرونشست در آبخوان‌ها بر اساس روش<sup>۳</sup> PCSM است، در این پژوهش از مدل ورن‌دهی ساده با مدل ALPRIFT استفاده شده است. لایه‌های مؤثر بر فرونشست بر اساس رتبه‌های این مدل، تهیه و وزن‌دهی شده و سپس با تلفیق و برهم نهی لایه‌ها در محیط Arc GIS، نقشه آسیب‌پذیری فرونشست دشت جنوب‌غربی

1. Alluvial aquifer

2. Bedrock

3. Point Count System Models



شکل ۲. مقایسه سطح ایستابی دشت تهران. سال ۱۳۹۴-۱۳۵۰ [۱۱]

تهران حاصل شد. مهم‌ترین پارامتر در این روش تعیین وزن بهینه است که در این تحقیق با استفاده از روش الگوریتم ژنتیک، وزن اعمال شده به هر یک از لایه‌های حاصل از مدل ALPRIFT بهینه و در نهایت ضریب همبستگی، بین نقشه آسیب‌پذیری حاصل از مدل‌های ALPRIFT و الگوریتم ژنتیک با نقشه ماهواره‌ای سنتینل ۱ (InSAR) به دست می‌آید و بهترین مدل برای آسیب‌پذیری دشت ارائه شد.

### مدل ALPRIFT

مدل ALPRIFT به وسیله ندیری و همکاران [۱۲] ارائه شده، که نشان‌دهنده چارچوبی برای به دست آوردن پتانسیل آسیب‌پذیری فرونشست آبخوان است. این مدل شامل ۷ لایه مؤثر بر فرونشست ( $A$  = جنس لایه‌های زیرین،  $L$  = کاربری زمین،  $P$  = پمپاژ،  $R$  = تغذیه،  $I$  = ضخامت آبخوان،  $F$  = فاصله از گسل و  $T$  = میزان افت سطح آب زیرزمینی) است (جدول ۱). هر پارامتر مؤثر بر فرونشست نیز، به زیردسته‌هایی تقسیم می‌شود که به هر دسته بر اساس میزان تأثیرش در وقوع فرونشست رتبه‌ای از ۱ تا ۱۰ تعلق می‌گیرد (جدول ۲). یک به معنای کمترین تأثیر و ده مؤثرترین پارامتر در وقوع فرونشست است. در نهایت از مجموع حاصل ضرب وزن هر لایه در رتبه‌های آن لایه (رابطه ۱)، میزان فرونشست در هر نقطه از محدوده به دست می‌آید.

$$\text{Subsidence vulnerability index (SVI)} = A_r A_w + L_r L_w + P_r P_w + R_r R_w + I_r I_w + F_r F_w + T_r T_w \quad (1)$$

در رابطه (۱) SVI شاخص آسیب‌پذیری فرونشست،  $A, L, P, R, I, F, T$  هفت عامل مؤثر بر فرونشست،  $r$  رتبه‌های تعلق گرفته به هر دسته و  $w$  وزن هر عامل را نشان می‌دهد.

### مدل الگوریتم ژنتیک (GA)

الگوریتم ژنتیک، برداشتی از علم ژنتیک و نظریه تکاملی داروین است که از آن به عنوان تابع بهینه‌کننده استفاده می‌شود که اولین بار به وسیله جان هالند در سال ۱۹۷۵ ارائه شد. این الگوریتم نقش مهمی در بررسی سیستم‌های انطباقی پیچیده ایفا می‌کند [۱۳] به این صورت که روی جمعیتی از جواب‌های بالقوه عمل کرده و با به کارگیری بقای برتر، تقریب بهتری از حل مورد نظر را ارائه می‌دهد [۱۴]. در طبیعت انتقال خصوصیات از نسلی به نسل دیگر از طریق کروموزوم‌ها و ژن‌ها انجام می‌گیرد. مدل‌سازی الگوریتم ژنتیک بر این اساس است که در نهایت ژن‌ها و کروموزوم‌های

بهتر و قوی‌تر باقی‌مانده و ژن‌های ضعیف از بین می‌روند، یا همان قانون تکامل داروین که موجودات ضعیفتر از بین می‌روند و موجودات قوی‌تر (سازگارتر) باقی می‌مانند [۱۵]. در این پژوهش از الگوریتم ژنتیک، به منظور بهینه‌سازی وزن‌های اختصاص داده شده به عوامل مؤثر بر فرونشست، برای بهبود نتایج حاصل استفاده شده است. متغیرهای ورودی تصمیم مسئله شامل هفت وزن داده شده به هفت پارامتر مؤثر بر فرونشست است که به عنوان جمعیت اولیه به مدل بهینه‌سازی وارد می‌شوند و تابع هدف، حداکثر سازی ضریب همبستگی پیرسون بین فرونشست‌های اندازه‌گیری شده در محدوده بررسی شده و شاخص فرونشست حاصل از تلفیق لایه‌ها است. زمانی که توابع هدف در تکرار متوالی یکسان باشند، به این معنی است که تغییر و یا بهبودی در تابع هدف ایجاد نشود، مدل بهینه‌سازی متوقف می‌شود.

## پردازش اطلاعات

به منظور به دست آوردن لایه‌های مدل ALPRIFT، اطلاعات مربوط به هر لایه به فاصله زمانی یک سال (مهر ۹۴ تا مهر ۹۵) را طبق جدول ۲ کلاس‌بندی و در محیط Arc GIS وارد و یک لایه رستری ایجاد شد. تبدیل به لایه رستری

جدول ۱. شرح اطلاعات لایه‌های ALPRIFT و وزن آن‌ها [۱۲]

پارامتر	توضیحات	وزن
A جنس لایه‌های زیرزمین	نقش مهمی در تغییر شکل لایه‌های تشکیل‌دهنده خاک بعد از برداشت آب زیرزمینی و فرونشست ناشی از آن دارد؛ وجود رسوبات ریزدانه اندتد سیلت و رس، به دلیل تراوایی بسیار کم اجزاء تنذیه مناسب به آبخوان را نمی‌دهند، همچنین به دلیل عدم حالت الاستیسیته و ضریب تحکیم بالایی که دارند، بعد از برداشت آب زیرزمینی دچار تحکیم برگشت‌ناپذیر شده و باعث فرونشست زمین می‌شوند. از طرفی، رسوبات درشت‌دانه مانند ماسه و گراول بدیل نفوذپذیری زیاد وجود حالت الاستیسیته، تأثیر بسیار کمتری در مقایسه با رسوبات ریزدانه در موقع فرونشست دارند.	۵
L کاربری زمین	چگونگی و نحوه استفاده از زمین و فعالیت‌های استقرار یافته در هر بخش آن کاربری اراضی نامیده می‌شود. کاربری‌های مختلف تأثیرات مختلفی بر موقع فرونشست دارند. به عنوان مثال، در محلی با کاربری کشاورزی، برداشت آب‌های زیرزمینی سبب فرونشست می‌شود یا در محل سدها، وزن ناشی از این سازه‌ها سبب تراکم لایه‌های خاک و نشست سطح زمین می‌شود.	۳
P پمپاژ	برداشت آب‌های زیرزمینی برای تأمین مصارف مختلف کشاورزی، صنعتی، خانگی و ... پمپاژ نامیده می‌شود. میزان پمپاژ عکس میزان تنذیه در فرونشست تأثیر دارد، بدین صورت که هرچه میزان برداشت آب زیرزمینی بیشتر باشد، فشار هیدرولیکی کمتر و فضای بین دانه‌ها کاهش می‌یابد که در نتیجه تنش مؤثر افزایش می‌یابد و موجب تراکم لایه‌ها و افزایش احتمال وقوع فرونشست می‌شود.	۴
R تغذیه	میزان تنذیه مقدار آبی است که از سطح زمین به محیط آبخوان وارد می‌شود. هرچه میزان تنذیه بیشتر باشد، فشار هیدرولیکی بین دانه‌ها افزایش می‌یابد که در نتیجه تنش مؤثر کاهش یافته و احتمال وقوع فرونشست کمتر می‌شود.	۴
I ضخامت آبخوان	شامل فاصله بین سطح زمین تا سنگ کف است که رابطه مستقیم با فرونشست دارد. هرچه ضخامت آبخوان بیشتر باشد، امکان برداشت آب از آن و وزن وارد بر رسوبات و تغییر شکل آن‌ها در اثر برداشت آب بیشتر می‌شود و بالعکس، هرچه ضخامت آبخوان کمتر باشد امکان برداشت آب از آن کمتر خواهد بود.	۲
F فاصله از گسل	یکی از عوامل طبیعی مؤثر بر موقع فرونشست حرکات تکتونیکی از جمله گسل است. گسل‌ها با جایه‌جایی مواد ریزدانه و درشت‌دانه در محل شکاف‌ها باعث شدید پدیده فرونشست می‌شوند. هرچه محدوده‌ای به محل گسلش نزدیک‌تر باشد امکان وقوع فرونشست در آن بیشتر خواهد بود و بالعکس.	۱
T میزان افت سطح آب زیرزمینی	کاهش سطح آب زیرزمینی در اثر برداشت آب، تبخیر، خشکسالی و ... موجب کاهش فشار هیدرولیکی، افزایش تنش مؤثر وارد بر رسوبات و فرونشست می‌شود	۵

## جدول ۲. محدوده و کلاس لایه‌های [۱۲] ALPRIFT

SVI		افت سطح (T) ایستایی	فاصله گسل (F)	ضخامت آبخوان (I)	(R)	پیماز (P)	زمین کاربری (L)	جنس لایه‌های زیرین (A)
		وزن=۵	وزن=۱	وزن=۲	وزن=۴	وزن=۴	وزن=۳	وزن=۵
قطع آسیب	پذیر	نخ	(m/year)	نخ	(km)	نخ	نخ	نخ
باند(پایین)	-۷۸ ۲۴	۱	۰-۰/۲	۱۰	۰-۱	۱	۰-۲۵	۱۰
باند(متوسط)	۱۳۲ ۷۸-	۲	۰/۲-۰/۵	۸	۱-۲	۲	۲۵-۵۵	۹
باند(زیاد)	۱۸۶ -	۳	۰/۵-۰/۹	۶	۲-۳	۳	۵۵-۹۰	۷
باند(بسیار زیاد)	۲۴۰ -	۴	۰/۹-۱/۴	۴	۳-۴	۴	۹۰-۱۳۰	۵
	۵	۱/۴-۲	۲	۴-۵	۵	-۱۷۵ ۱۳۰	۳	۱۹-۲۴
	۶	۲-۲/۷	۱	>۵	۶	-۲۲۵ ۱۷۵	۱	>۲۴
	۷	۲/۷-۳/۵			۷	-۲۸۰ ۲۲۵		۷
	۸	۳/۵-۴/۴			۸	-۳۴۰ ۲۸۰		۸-۴۰
	۹	۴/۴-۵/۴			۹	-۴۰۵ ۳۴۰		۴۰-۶۵
	۱۰	>۵۴			۱۰	>۴۰۵		>۶۵

اگر تمام لایه‌ها در رتبه ۱ قرار داشته باشند شاخص آسیب‌پذیری فرونشست (SVI) برابر ۲۴ می‌شود.

$$SVI = 1 \times 5 + 1 \times 3 + 1 \times 4 + 1 \times 2 + 1 \times 5$$

اگر تمام لایه‌ها در رتبه ۱۰ قرار داشته باشند شاخص آسیب‌پذیری فرونشست (SVI) برابر با ۲۴۰ می‌شود.

$$SVI = 10 \times 5 + 10 \times 3 + 10 \times 4 + 10 \times 2 + 10 \times 5$$

برای انجام عملیات تلفیق و ایجاد نقشه آسیب‌پذیری فرونشست ضروری است. در این پژوهش، به‌منظور آمده‌سازی هر یک از لایه‌های مورد نظر، از منابع اطلاعاتی گوناگونی استفاده شد که در زیر، منابع اطلاعاتی استفاده شده و نحوه آمده‌سازی هریک توضیح داده شده است:

**جنس لایه‌های زیرین:** با استفاده از لاگ‌های زمین‌شناسی سازمان آب منطقه‌ای تهران، نوع رسبات تشکیل‌دهنده آبخوان شناسایی و هر کدام طبق جدول ۲ کلاس بندی و نوع خاک هر لاگ به‌دست آمد. سپس مقادیر در محیط ArcGIS وارد و مقادیر داده‌ها به کل منطقه با روش IDW درون‌یابی و لایه‌رسانی جنس لایه‌های زیرین، به‌منظور تلفیق با سایر لایه‌ها ایجاد شد. نقشه کلاس‌بندی این لایه در شکل ۳ آشان داده شده است.

**کاربری زمین:** کاربری‌های مختلف بر اساس میزان تأثیر در وقوع فرونشست در جدول ۲ نشان داده شده است. در دشت بررسی شده سه نوع کاربری زمین، مناطق کشاورزی، مناطق مسکونی و زمین‌بایر وجود دارد. زمین‌های کشاورزی به‌علت برداشت آب زیرزمینی بیشترین تأثیر در فرونشست و زمین‌های بایر کمترین تأثیر را در فرونشست

دارند. لایه کاربری زمین با استفاده از نقشه کاربری زمین استان تهران تهیه و با استفاده از جدول ۲ کلاس‌بندی شد و لایه رستری لایه به دست آمد. نقشه رستری این لایه در شکل ۳ ب نشان داده شده است.

**پمپاژ:** برای تهیه لایه پمپاژ، میزان برداشت سالانه آب چاههای بهره‌برداری، که از سازمان آب منطقه ای تهران تهیه شده بود با مختصات چاهها به محیط ArcGIS وارد شد و با روش پلیگون تیسن مقدار تخلیه برای هر پیزومتر مشخص و با روش IDW به کل منطقه درون‌بابی و لایه رستری حاصل از آن ایجاد شد. نقشه رستری حاصل از لایه پمپاژ در شکل ۳ پ نشان داده شده است.

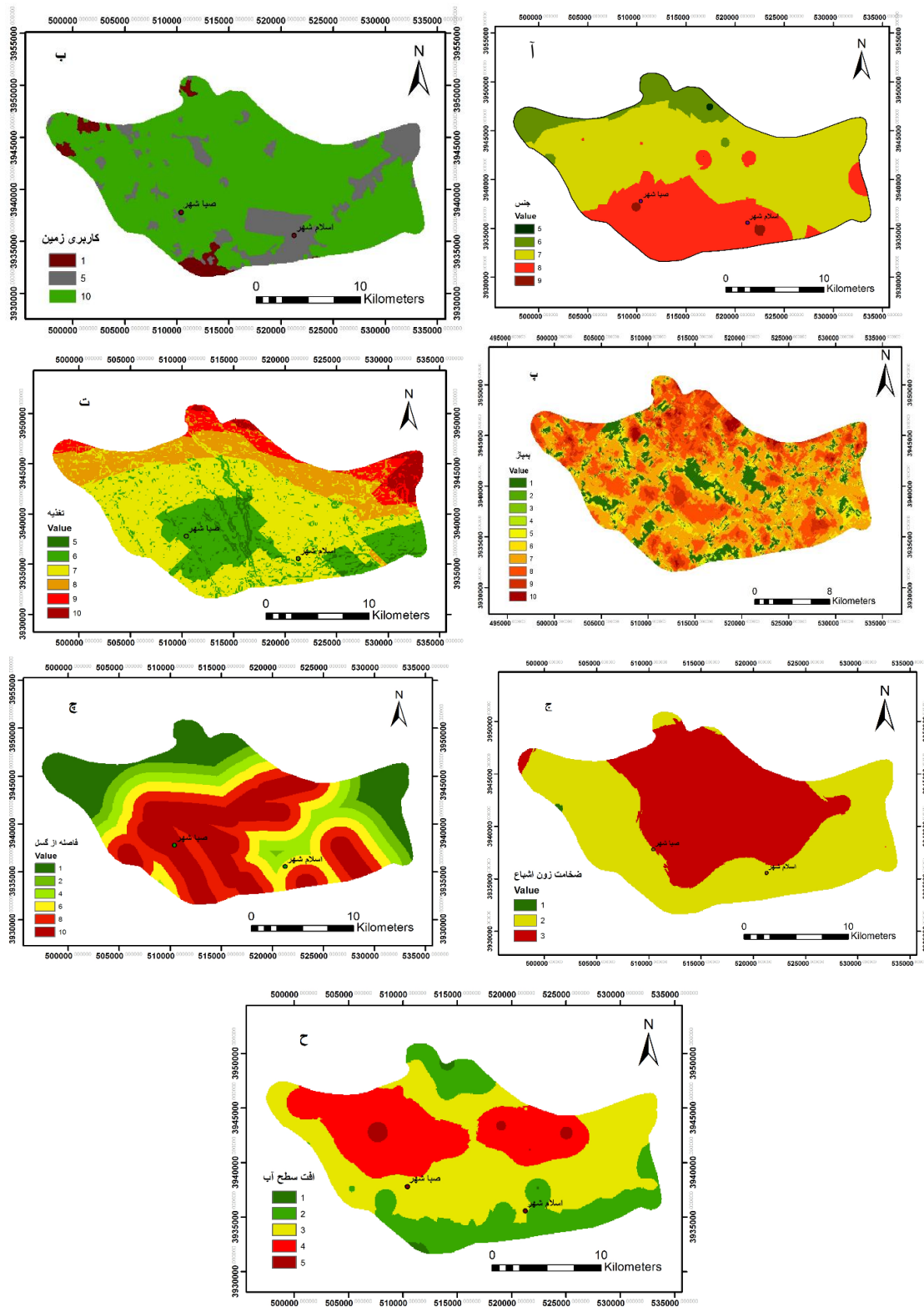
**تغذیه:** برای تهیه لایه تغذیه، از روش پیسکوپو [۱۶] استفاده شد. در روش پیسکوپو، ۳ لایه شیب زمین، بارندگی و نفوذپذیری خاک به لایه رستری تبدیل و با تلفیق روی هم، لایه تغذیه به دست آمد و با استفاده از جدول ۲ کلاس‌بندی شد. نقشه رستری حاصل از تغذیه در شکل ۳ ت نشان داده شده است.

**ضخامت آبخوان:** برای تهیه این لایه، از چاههای پیزومتری سازمان آب منطقه‌ای (۱۳۹۳) بهمنظور به دست آوردن سطح ایستابی و گزارش فرونشست سازمان زمین‌شناسی و اکتشافات معدنی کشور (۱۳۸۶) بهمنظور به دست آوردن سنگ کف منطقه استفاده شد. با در دست داشتن سطح ایستابی و سنگ کف، ضخامت زون اشباع آبخوان تهیه و با استفاده از جدول ۲ کلاس‌بندی شد و لایه رستری آن بهمنظور تلفیق با سایر لایه‌ها در محیط ArcGIS تهیه شد. نقشه رستری ضخامت آبخوان در شکل ۳ ج نشان داده شده است.

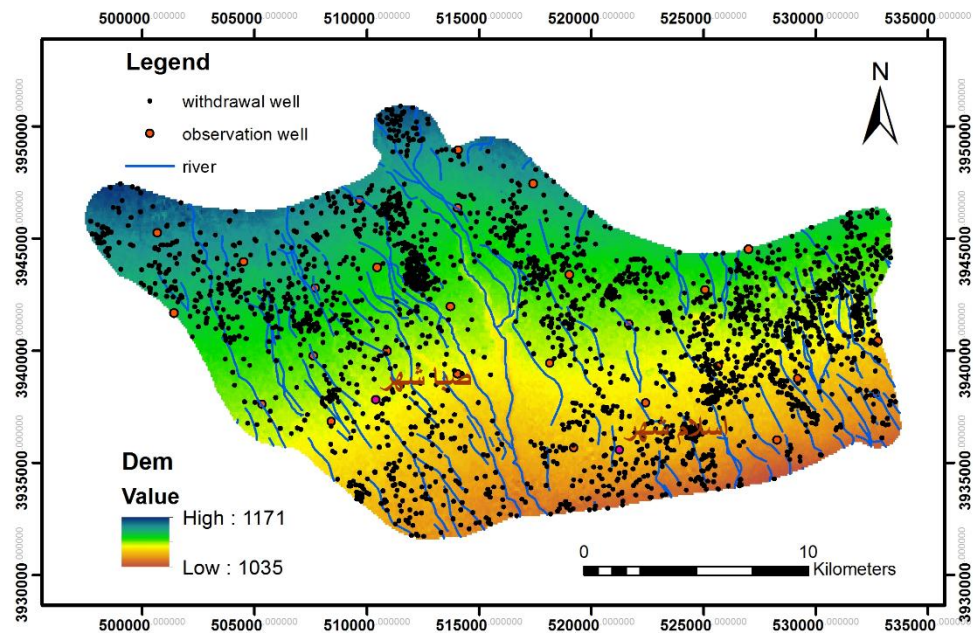
**فاصله از گسل:** برای به دست آوردن فاصله گسل از هر نقطه داشت، از دستور Euclidean distance استفاده شد و نقشه حاصل از آن بر اساس جدول ۲ کلاس‌بندی و تبدیل به لایه رستری شد. هر قدر نقاط از گسل فاصله بگیرند، تأثیری کمتری در فرونشست دارند. شکل ۳ ج لایه رستری فاصله از گسل را برای داشت بررسی شده نشان می‌دهد.

**افت سطح آب زیرزمینی:** برای به دست آوردن این لایه از اطلاعات یک ساله (مهر ۹۴ تا مهر ۹۵) چاههای پیزومتری موجود در داشت استفاده شد. مقادیر داده‌ها برای کل منطقه با روش IDW درون‌بابی و سپس لایه رستری برای تلفیق با سایر لایه‌ها تهیه شد. سپس با استفاده از جدول ۲، این لایه کلاس‌بندی شد. شکل ۳ ح لایه رستری افت سطح آب زیرزمینی را نشان می‌دهد.

شکل ۴، نقشه ارتفاعی داشت بررسی شده از سطح آبهای آزاد بر حسب متر، موقعیت قرارگیری چاههای پیزومتری، چاههای بهره‌برداری و محل رودخانه‌های موجود در داشت را نشان می‌دهد.



شکل ۳. لایه‌های رستری پردازش شده ALPRIFT. آ) جنس لایه‌های زیرین، ب) کاربری زمین، پ) پمپاژ، ت) تغذیه،  
 ج) ضخامت آبخوان، چ) فاصله از گسل، ح) افت سطح آب زیرزمینی

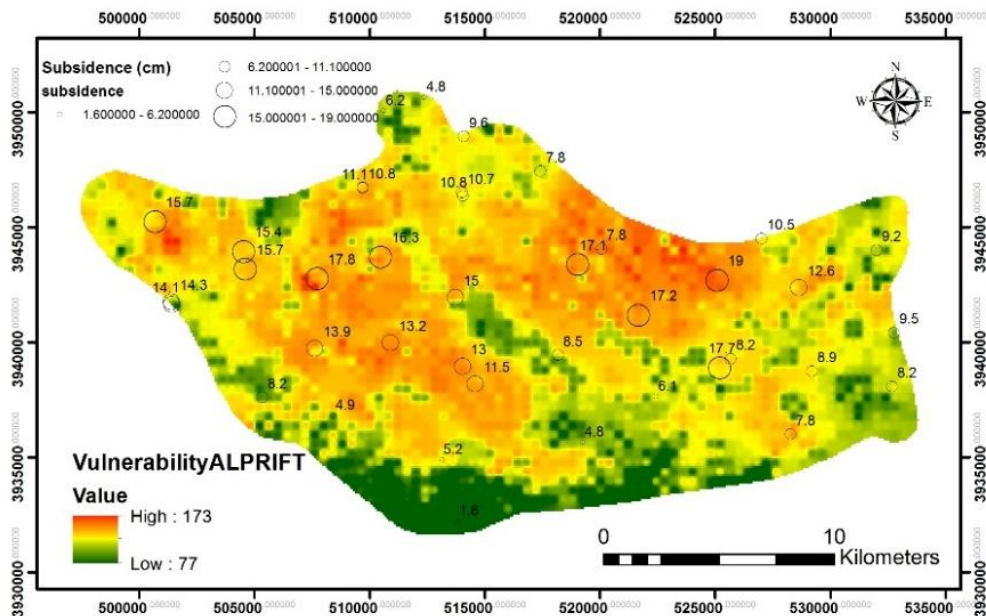


شکل ۴. موقعیت چاههای پیزومتری و بهره‌برداری در دشت برسی شده

## بحث و نتایج

### نتایج حاصل از مدل ALPRIFT

پس از آماده‌سازی ۷ لایه مؤثر بر فرونشست و کلاس‌بندی آن‌ها طبق جدول ۲، این لایه‌ها بر اساس وزن تعیین شده برای هر لایه (جدول ۱) روی هم تلفیق شدند و نهایتاً نقشه آسیب‌پذیری فرونشست دشت جنوب‌غربی تهران حاصل شد و شاخص فرونشست برای کل دشت بین ۷۷ تا ۱۷۳ برآورد شد (شکل ۵).



شکل ۵. نقشه آسیب‌پذیری دشت حاصل از تلفیق لایه‌های مدل ALPRIFT

## نتایج حاصل از الگوریتم ژنتیک (GA)

به منظور بهینه‌سازی و تدقیق وزن‌های استفاده شده در مدل ALPRIFT از روش الگوریتم ژنتیک استفاده شد. از این الگوریتم بهینه‌سازی برای افزایش مقدار همبستگی بین مقادیر فرونشست نرمال شده و مقادیر نرمال شده پتانسیل فرونشست با بهینه‌سازی وزن‌ها استفاده شد. همبستگی پیرسون بین شاخص پتانسیل فرونشست (ALPRIFT) و فرونشست داده‌های راداری (InSAR) به عنوان تابع هدف انتخاب و اجرا شد. در این مرحله با استفاده از تابع هدف (رابطه ۲) و قید (رابطه ۳) مقادیر وزن‌های هر لایه بهینه شد.

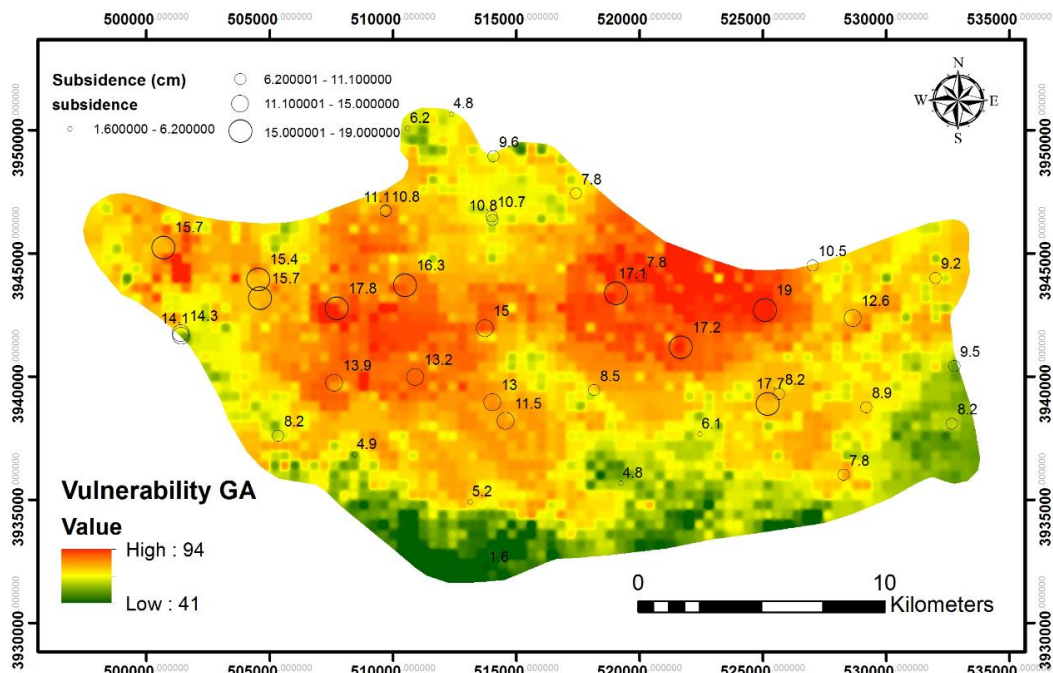
شکل ۶ نقشه آسیب‌پذیری دشت جنوب‌غربی تهران با استفاده از مدل GA را نشان می‌دهد. جدول ۳ وزن‌های بهینه‌شده حاصل از روش الگوریتم ژنتیک و وزن‌های اعمال شده از مدل ALPRIFT را مقایسه می‌کند. چنان‌که نشان داده شده است، وزن‌های به دست آمده بین ۵ و ۱ است که بیشترین وزن مربوط به افت سطح آب زیرزمینی است.

شاخص آسیب‌پذیری فرونشست در مدل الگوریتم ژنتیک بین ۴۱ تا ۹۳ است.

$$r = \frac{n(\sum xy) - (\sum x)(\sum y)}{\sqrt{[n(\sum x^2) - (\sum x)^2][n(\sum y^2) - (\sum y)^2]}} \quad (2)$$

$$5 < w_i < 1 \quad (3)$$

وزن اعمال شده به هر پارامتر و  $r$  ضریب همبستگی پیرسون را نشان می‌دهد. برای بهینه‌سازی با روش الگوریتم ژنتیک نیاز به تعیین مقدار بهینه چهار عملگر الگوریتم ژنتیک شامل برآزندگی یا تناسب<sup>۱</sup>، انتخاب<sup>۲</sup>، ترکیب یا ادغام<sup>۳</sup> و جهش<sup>۴</sup> است که باید مقدار بهینه آن‌ها تعیین شود [۱۷].



شکل ۶. نقشه آسیب‌پذیری دشت حاصل از مدل الگوریتم ژنتیک (GA)

1 Fitness

2 Selection

3 Crossover

4 Mutation

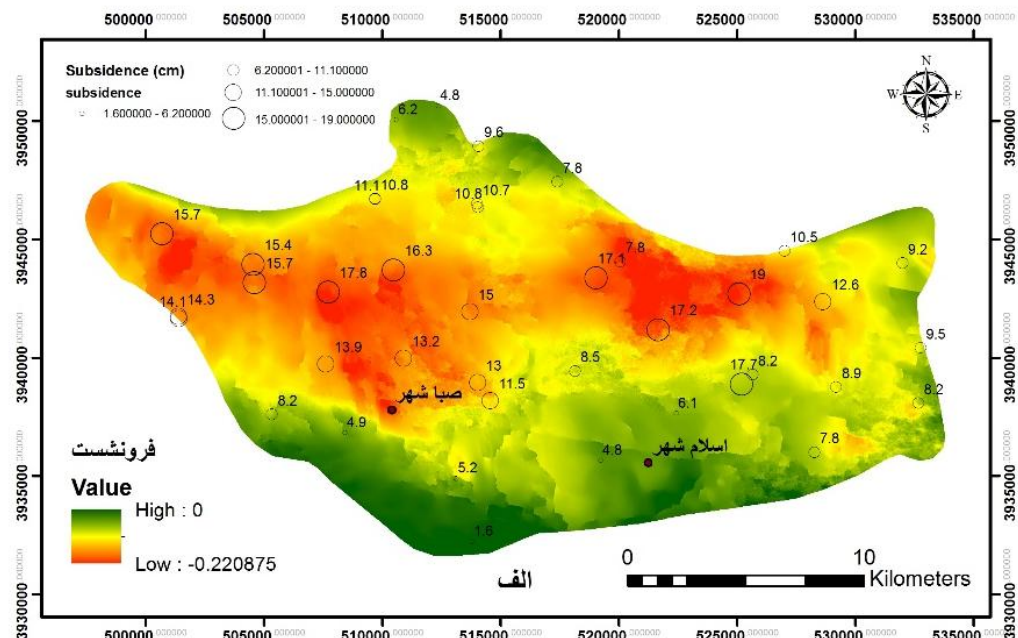
جدول ۳. وزن پارامترهای مؤثر بر فرونشست

جنس لایه‌های زیرزمین	کاربری زمین	پمپاژ	تزریق	ضخامت آبخوان	فاصله از گسل	افت سطح آب زیرزمینی	ALPRIFT	الگوریتم ژنتیک (GA)
۵	۴	۴	۴	۲	۱	۵		
۱	۱/۰۴	۱/۰۴	۳/۲۴	۲/۶۰	۱	۵		

### صحت‌سنجی نتایج

در این پژوهش از تصاویر راداری (InSAR) ماهواره سنتینل ۱ سال ۲۰۱۵ پردازش شده استفاده شد تا بتوان به‌وسیله این تصویر، چارچوب کلی ارائه شده برای آبخوان دشت جنوب‌غربی تهران را ارزیابی کرد. ماهواره سنتینل ۱ به صورت شبانه‌روزی با استفاده از باند C به تصویربرداری از سیاره زمین می‌پردازد. این ماهواره برای بررسی پدیده‌های مختلف سطح زمین در بازه زمانی طولانی مدت طراحی شده است. ماهواره سنتینل ۱ به عنوان نخستین ماهواره از سری ماهواره‌های پنج‌گانه کوپرنیکوس سازمان فضایی اروپا است. ماهواره سنتینل با ۴ حالت تصویربرداری توان تفکیک مکانی کمتر از ۱۰ متر را دارد. داده‌های ماهواره سنتینل به صورت دوقطبی و با توان تفکیک زمانی زیاد است. ماهواره سنتینل ۱ ادامه‌دهنده راه سایر ماهواره‌های راداری است که در باند C تصویربرداری می‌کنند (مانند ERS-2، ERS-1، RADARSAT-2 و RADARSAT-1، ENVISAT).

حسب سانتی‌متر برای مدت زمان یک سال (۲۰۱۵) را نشان می‌دهد.



شکل ۷. نقشه ماهواره‌ای فرونشست دشت بررسی شده

### مقایسه مدل ALPRIFT و مدل الگوریتم ژنتیک (GA)

برای مقایسه دو مدل به دست آمده، از شاخص آسیب‌پذیری فرونشست حاصل از نقشه ماهواره‌ای و شاخص آسیب‌پذیری دو مدل ALPRIFT و GA و ضریب پیرسون استفاده شد. شاخص همبستگی (CI) یک سیستم امتیازدهی است که محققان آن را به طور گسترده استفاده می‌کنند. از شاخص همبستگی به منظور بررسی دقیق‌تر شاخص آسیب‌پذیری فرونشست، استفاده می‌شود. به این منظور مقدار میزان فرونشست به ۴ دسته، بسیار کم، کم، متوسط و زیاد تقسیم شد. سپس تعداد چاههایی که مقادیر فرونشست آن با نقشه‌های آسیب‌پذیری ارزش یکسانی دارند و در یک گروه قرار دارند در ۴ ضرب می‌شوند و آن تعداد چاههایی که میزان فرونشست و گروه آسیب‌پذیری آن به مقدار ۳، ۲ و ۱ اختلاف دارند به ترتیب به ۳، ۲ و ۱ ضرب می‌شوند. سپس مقادیر حاصل با هم جمع و شاخص همبستگی (CI) به دست می‌آید. در این پژوهش از ۴۰ چاه پیزومتری موجود در دشت برای به دست آوردن شاخص همبستگی استفاده شد جدول ۴ نتایج مقایسه دو مدل را نشان می‌دهد.

**جدول ۴. مقایسه شاخص همبستگی بین دو مدل ALPRIFT و GA**

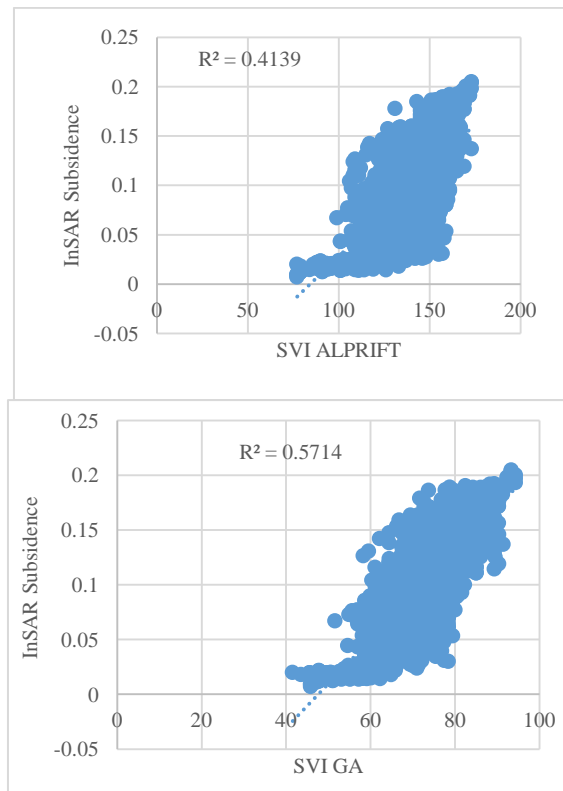
$R^2$	ضریب پیرسون (r)	CI حاصل از چاههای پیزومتری	شاخص آسیب‌پذیری ALPRIFT				شاخص آسیب‌پذیری GA			
			باند ۴	باند ۳	باند ۲	باند ۱	باند ۴	باند ۳	باند ۲	باند ۱
۰/۴۱	۰/۶۴	۱۱۰	.	۵	۱	.	.	۱۳	۷	۱
			.	۱۳	۱	.	.	۲	۶	۰
			.	۲	۷	.	.	۱	۳	۰
			.	۳	۷	.	.	۷	۳	۰
۰/۵۷	۰/۷۵	۱۱۳	.	.	۰	۱۳	.	.	۰	۱
			.	.	۲	۷	.	.	۲	۰
			.	۰	۱	۶	.	۰	۳	۰
			.	۰	۷	۳	.	۰	۰	۰

چنان‌که در جدول ۴ مشاهده می‌شود، شاخص آسیب‌پذیری به ۴ باند که محدوده این باندها در جدول ۲ ارائه شده است، تقسیم‌بندی شده است. به دلیل این‌که شاخص آسیب‌پذیری مدل ALPRIFT بین ۷۷ تا ۱۷۳ است شامل باند ۲ و ۳ است و شاخص آسیب‌پذیری مدل GA بین ۴۱ تا ۹۴ است، شامل باند ۱ و ۲ است. میزان فرونشست حاصل از نقشه ماهواره‌ای نیز به ۴ باند کم، متوسط، زیاد و خیلی زیاد تقسیم‌بندی شد و سپس تعداد چاههای قرار گرفته هر باند مدل‌های کار شده نسبت به نقشه ماهواره‌ای حساب شد. محاسبه CI هر مدل بدین صورت است:

$$ALPRIFT \quad CI = 4(1 + 2) + 3(1 + 13 + 7 + 3) + 2(5 + 7) + 1(10) = 110$$

$$GA \quad CI = 4(13 + 2) + 3(7 + 1) + 2(6 + 7) + 1(3) = 113$$

چنان‌که مشخص شد CI حاصل از مدل GA بیش‌تر از مدل ALPRIFT به دست آمد و این نشان‌دهنده زیاد بودن شاخص همبستگی مدل GA نسبت به مدل ALPRIFT است. از طرفی ضریب پیرسون حاصل از مدل الگوریتم ژنتیک بیش‌تر از مدل ALPRIFT است. شکل ۸ نمودار  $R^2$  دو مدل ALPRIFT و GA را نشان می‌دهد. دلیل همبستگی کم مدل ALPRIFT با میزان فرونشست واقعی مربوط به زمان تأخیر فرونشست است.



شکل ۸. نمودار همبستگی بین مدل‌ها و میزان فرونشست

### نتیجه‌گیری

هدف از انجام این پژوهش، بررسی پتانسیل فرونشست در دشت جنوب‌غربی تهران با به‌کارگیری مدل ALPRIFT شامل ۷ لایه مؤثر بر فرونشست است. دشت تهران از دشت‌های مهم کشور با کاربری عمده کشاورزی است که برداشت آب‌های زیرزمینی به‌منظور تأمین نیازهای آبی، سطح زمین را در این منطقه در معرض خطر فرونشست قرار می‌دهد. بنابراین بررسی و ارزیابی پتانسیل فرونشست در این دشت، به‌منظور مدیریت اثرات آن امری ضروری است. در مدل ALPRIFT هفت پارامتر مؤثر، حنس لایه‌های زیرین، کاربری زمین، پمپاژ، تزریق، ضخامت آبخوان، فاصله از گسل و افت سطح آب زیرزمینی طبق نظر کارشناسی ارائه شده، رتبه‌بندی و کلاس‌بندی شد و از تلفیق این پارامترها در محیط ArcGIS نقشه آسیب‌پذیری دشت با شاخص بین ۷۷ تا ۱۷۳ حاصل شد. سپس به‌منظور بهینه‌سازی وزن‌های اعمال شده، روش الگوریتم ژنتیک تحت نرم‌افزار اکسل به‌کار گرفته شد. نتایج حاصل از این تحقیق، نشان می‌دهد که روش الگوریتم ژنتیک به‌دلیل ایجاد همبستگی زیاد بین شاخص فرونشست و فرونشست رخ داده در محدوده بررسی شده، بهتر از روش ALPRIFT، آسیب‌پذیری را نشان می‌دهد. بر اساس این مدل نواحی مرکزی و شمال غربی در معرض فرونشست قرار دارند و باید برنامه‌های مدیریتی لازم برای کنترل آن‌ها اعمال شود.

### منابع

- Waltham A. C., "Ground Subsidence", Chapman & Hall (1955) 202.

2. Darini G., "Land subsidence due to groundwater withdrawal: the case of Bologna", Ph. D. Thesis (2007).
3. Hu R. L., Z. Q. Yueb, L. C. Wanga, S. J. Wang, "Review on Current Status and Challenging Issues of land Subsidence in China", Elsevier Science – Engineering Biology, Vol. 76 (سال ۶۵-۷۷).
4. Bell F. G, "Geological Hazards: Their assessment, avoidance and mitigation", Department of Geological and Applied Geology, University of Natal, Durban, South Africa, (1999) 625.
5. Poland J. F., ed., "Guidebook to studies of land subsidence due to ground water withdrawal", United Nations Educational. Scientific and Cultural Organization. Paris. Studies and reports in hydrology (2001) 40 (1984) 305.
۶. اسکندری شهرکی علی، ترویجی امید، مهدیزاده، "بررسی فرونشست زمین در اثر افت سطح آب‌های زیرزمینی"، دوین کنگره سراسری فناوری‌های نوین ایران، مرکز راهکارهای دست‌یابی به توسعه پایدار (۱۳۹۴).
۷. سازمان زمین‌شناسی و اکتشافات معدنی کشور، "بررسی فرونشست زمین در دشت تهران-شهریار"، (گزارش نخست) .۵۴ (۱۳۸۴).
۸. محمودپور مسعود، "نقش اندرکنش ویژگی‌های زمین‌شناسی مهندسی و برداشت آب‌های زیرزمینی در سازوکار و الگوی فرونشست زمین در گشته جنوب باختی تهران"، رساله دوره دکتری زمین‌شناسی مهندسی، دانشگاه تربیت مدرس (۱۳۹۴).
9. Rieben E. H., "The geology of the Tehran plain", American Journal of Science, 253, 617-639
10. سازمان آب منطقه‌ای تهران، "آمار تعداد و تحليه چاههای مجاز استان تهران به تفکیک شهرستان و نوع مصرف", (۱۳۹۳).
۱۱. شمشکی ا، قاسمی ار. "گزارش آب زمین‌شناسی ناحیه فرونشست زمین جنوب غربی دشت تهران (بیان آب زیرزمینی)", .۲۴ (۱۳۸۷).
12. Nadiri A., Taheri Z., Khatibi R., Barzegari G., Dideban Kh., "Introducing a new framework for mapping subsidence vulnerability indices (SVIs): ALPRIFT" Science of the Total Environment, 628-629 (2018) 1043-1057
13. Holland J., "Adaptation in Natural and Artificial Systems. University of Michigan Press, Ann Arbor, MI. Information Located, Assess on September 2011 :<http://water.usgs.gov/ogw/pubs/fs00165> (1975).
14. Melanie M., "An Introduction to Genetic Algorithms", A Bradford Book The MIT Press Cambridge, Massachusetts-London, England, Fifth Printing (1999).
۱۵. موسویان س.م، اسدزاده ا، "پیش‌بینی تقاضای بنزین در ایران بر مبنای شاخص‌های اقتصادی: یک تحلیل مقایسه‌ای بین الگوریتم ژنتیک و pso"، چهارمین کنفرانس بین المللی برنامه‌ریزی و مدیریت، ۳-۲ خرداد ماه (۱۳۹۶).
16. Piscopo G., "Groundwater vulnerability map. Explanatory notes Castlereagh Catchment", NSW. Centre for Natural Resources. NSW Department of Land and Water Conservation, Parramatta.
۱۷. تیرداد کیوان، "اگوریتم ژنتیک-پرواز در فضای حالت مسئله"، ماهنامه شبکه، شماره ۷۱ (آذر-۱۳۸۵).